

论著·基础研究 doi:10.3969/j.issn.1671-8348.2020.24.001

维生素 D3 通过 VDR-p38 途径抑制内皮细胞 VCAM-1 表达的研究*

索 荣¹, 刘 行², 赵 辉^{1△}

(1. 天津医院心内科 300211; 2. 天津医科大学第二医院心脏科/天津心脏病学研究所 300211)

[摘要] 目的 细胞水平探究维生素 D(VD)对血管内皮细胞的保护作用。方法 采用肿瘤坏死因子 α (TNF- α)诱导内皮损伤和黏附分子表达; 维生素 D 采用最具活性形式的骨化三醇; 利用流式细胞术检测血管内皮细胞黏附分子-1(VCAM-1)表达水平; 荧光显微镜观察绿色荧光加载的 THP-1 单核细胞与内皮细胞的黏附作用; Western blot 检测 VD 受体(VDR)、p38、磷酸化 p38 蛋白水平。结果 与对照组比较, TNF- α 组内皮细胞 VCAM-1 表达增高($P < 0.05$)、内皮细胞与单核细胞黏附作用增加($P < 0.05$)。当内皮细胞预孵育 10^{-9} 、 10^{-8} 、 10^{-7} 、 10^{-6} mol/L 骨化三醇后, TNF- α 诱导的内皮细胞 VCAM-1 的表达降低, 与单核细胞之间的黏附作用减弱($P < 0.05$)。特异性 siRNA 敲低 VDR 蛋白水平后, 骨化三醇对内皮细胞 VCAM-1 表达的抑制作用减弱, 内皮细胞与单核细胞的黏附作用减弱($P < 0.05$)。TNF- α 促进内皮细胞 p38 蛋白磷酸化、而骨化三醇抑制 TNF- α 诱导的内皮细胞 p38 蛋白磷酸化($P < 0.05$)。特异性 siRNA 敲低 VDR 蛋白水平后, 骨化三醇对 TNF- α 诱导的内皮细胞 p38 蛋白磷酸化及 VCAM-1 的表达和单核细胞黏附抑制作用均降低($P < 0.05$)。结论 维生素 D3 通过 VDR-p38 信号途径抑制 TNF- α 诱导的血管内皮细胞 VCAM-1 蛋白表达, 以及抑制内皮细胞与单核细胞黏附作用。

[关键词] 维生素 D; 骨化三醇; 动脉粥样硬化; 内皮细胞; 血管细胞黏附分子-1

[中图法分类号] R541.4

[文献标识码] A

[文章编号] 1671-8348(2020)24-4045-05

Study on vitamin D3 inhibiting expression of VCAM-1 in endothelial cells through VDR-p38 pathway*

SUO Rong¹, LIU Xing², ZHAO Hui^{1△}

(1. Department of Cardiology, Tianjin Hospital, Tianjin 300211, China;

2. Department of Cardiology, Tianjin Hospital, Tianjin Medical University/Tianjin Institute of Cardiology, Tianjin 300211, China)

[Abstract] **Objective** To study the protective effect of vitamin D (VD) on vascular endothelial cells in cellular level. **Methods** The tumor necrosis factor- α (TNF- α) was used to induce the endothelial injury and the expression of adhesion molecules. Vitamin D adopted the most active form of calcitriol. The flow cytometry was used to detect the expression level of VCAM-1; the fluorescence microscopy was used to observe the adhesion effect of THP-1 monocytes loaded with green fluorescence and endothelial cells; the Western blot was used to detect the levels of vitamin D receptor (VDR), p38, phosphorylated p38 protein. **Results** Compared with the control group, the endothelial cellular VCAM-1 expression level in the TNF- α group was increased($P < 0.05$) and the adhesive effect of endothelial cells to monocytes was increased ($P < 0.05$). When endothelial cells preincubating 10^{-9} , 10^{-8} , 10^{-7} , 10^{-6} mol/L calcitriol, the expression level of endothelial cellular VCAM-1 induced by TNF- α was decreased, and its adhesive effect to monocytes was weakened($P < 0.05$). After specific siRNA knocking down the VDR protein level, the inhibiting effect of calcitriol on endothelial cellular VCAM-1 expression was weakened and the adhesive effect of endothelial cells to monocytes was weakened ($P < 0.05$). TNF- α promoted the phosphorylation of p38 protein in endothelial cells, while calcitriol inhibited the phosphorylation of endothelial cellular p38 protein induced by TNF- α ($P < 0.05$). After specific

* 基金项目: 天津市教委科研计划项目(2017KJ205)。 作者简介: 索荣(1985—), 医师, 研究生, 主要从事心血管疾病发病机制的研究。

△ 通信作者, E-mail: suorong188@126.com。

siRNA knocking down VDR protein level, the effect of calcitriol on p38 protein phosphorylation induced by TNF- α and VCAM-1 expression as well as monocytes adhesive inhibiting effect were decreased ($P < 0.05$)。

Conclusion Calcitriol inhibits TNF- α induced endothelial cellular VCAM-1 protein expression and inhibits the adhesive effect of endothelial cells to monocytes through VDR-p38 signaling pathway.

〔Key words〕 vitamin D; calcitriol; atherosclerosis; endothelial cells; VCAM-1

内皮细胞功能损伤是动脉硬化性心血管疾病(ASCVD)发生、发展的重要环节^[1]。由于机械力或者慢性炎症造成的内皮细胞功能障碍,导致了大量免疫细胞浸润和脂质沉积^[2]。受损的内皮细胞通过增加黏附分子的表达^[3],一氧化氮合成紊乱^[4],通透性增加^[5]等诸多因素促进 ASCVD 的发生、发展。因此,通过外源性的药物改善内皮功能障碍是预防 ASCVD 发生的重要靶点。大量研究表明,维生素 D(VD)的缺乏会增加心血管疾病发病风险^[6-7]。较低水平的 25-羟基维生素 D[25-(OH)D]与急性心肌梗死^[8]、高血压^[9]、心肌肥厚^[10]及心律失常^[11]等疾病均具有负相关性。机制方面,VD 可以调节肾素与血管紧张素的分泌从而达到调节血压的目的。VD 还具有抑制炎症的作用,抑制巨噬细胞向促炎表型分化等。VD 受体(VDR)敲除小鼠与野生型小鼠相比,血液炎症因子水平显著增高,并且单核细胞表面黏附分子表达增加^[12]。VD 在心血管疾病中具有诸多调节作用。但 VD 缺乏导致的内皮细胞功能障碍鲜有文献报道。本研究假设 VD 缺乏容易造成血管内皮细胞功能障碍,以至于促进 ASCVD 发病来展开研究,采用 VD 的活性形式骨化三醇来探讨其对血管内皮细胞的保护作用。

1 材料与方法

1.1 材料来源

人脐静脉内皮细胞(HUVECs)、人单核细胞系(THP-1)由天津心脏病学研究所惠赠。

1.2 方法

1.2.1 试剂

高糖改良的 Eagle 基础细胞培养基(DMEM),1640 培养基购自 Gibco 公司(美国),胎牛血清(FBS)购自 BI 公司(以色列);PE 标记的抗人血管细胞黏附分子-1(VCAM-1)抗体购自 Biologend 公司(美国);兔多抗 VDR、兔多抗甘油醛-3-磷酸脱氧酶(GAPDH)抗体购自 Proteintech 公司(中国);鼠单抗 p38 抗体、鼠单抗磷酸化 p38 抗体购自 Abcam 公司(英国);钙黄绿素购自苏州宇恒公司(中国);人重组肿瘤坏死因子 α (TNF- α)购自金斯瑞公司(中国);骨化三醇购自 Med Chem Express 公司(美国)。

1.2.2 细胞培养

HUVECs 培养基为含 10% 胎牛血清的高糖 DMEM,置于 37 °C,5% CO₂ 的细胞培养箱。THP-1 培养基为含 10% 胎牛血清的 1640,置于 37 °C,5% CO₂ 的细胞培养箱。

1.2.3 细胞计数试剂(CCK-8)检测内皮细胞活性

HUVECs 处理不同水平骨化三醇(10^{-9} 、 10^{-8} 、 10^{-7} 、 10^{-6} 、 10^{-5} 、 10^{-4} mol/L)共孵育 4 h,通过 CCK-8 检测骨化三醇对 HUVECs 活性的影响。在 96 孔板中接种细胞悬液(每孔 100 μ L)。向每孔加入 10 μ L CCK-8 溶液。将培养板在培养箱内孵育 1 h。酶标仪测定在 450 nm 处的吸光度。

1.2.4 流式细胞仪检测 VCAM-1 蛋白水平

0.25% 胰酶消化 HUVECs,取 10⁵ 个细胞加入 50 μ L 染色缓冲液,加入 3 μ L PE 标记的抗人 VCAM-1 抗体,室温孵育 20 min。上机检测,读取几何荧光强度。

1.2.5 细胞黏附实验

24 孔板种 HUVECs,细胞铺满孔板后,进行预处理 0、 10^{-9} 、 10^{-8} 、 10^{-7} 、 10^{-6} 、 10^{-5} 、 10^{-4} mol/L 的骨化三醇 1 h 后,加入 50 ng/mL 的 TNF- α 处理 HUVECs,4 h 后去除培养基,磷酸盐缓冲液(PBS)清洗细胞 2 次,加入新鲜 DMEM 培养基。THP-1 孵育 50 nmol/L 钙黄绿素,37 °C,30 min。离心去除染料。每孔加入 10⁴ 个 THP-1 细胞与 HUVECs 共孵育 1 h。PBS 清洗 3 次,去除未黏附的 THP-1 细胞,显微镜下观察绿色荧光。取 10 个视野进行拍照,计算绿色荧光平均个数。

Western blot 检测 VDR、p38、磷酸化 p38 蛋白表达,裂解不同处理的内皮细胞,蛋白质定量(BCA)法测定总蛋白质水平,等量上样做 SDS-PAGE 电泳,将凝胶中的蛋白质转至 PVDF 膜,5% 脱脂牛奶封闭,分别与稀释 GAPDH 抗体(1 : 10 000)、VDR 抗体(1 : 2 000)、p38 抗体(1 : 1 000)、磷酸化 p38 抗体(1 : 1 000)4 °C 孵育过夜,TBST 洗膜,相应二抗室温孵育 45 min,TBST 洗膜,ECL 化学发光并在成像系统中曝光。

1.3 统计学处理

采用 SPSS17.0 统计软件进行分析。计量资料以 $\bar{x} \pm s$ 表示,多组间比较采用单因素方差分析(ANOVA),以 $P < 0.05$ 为差异有统计学意义。

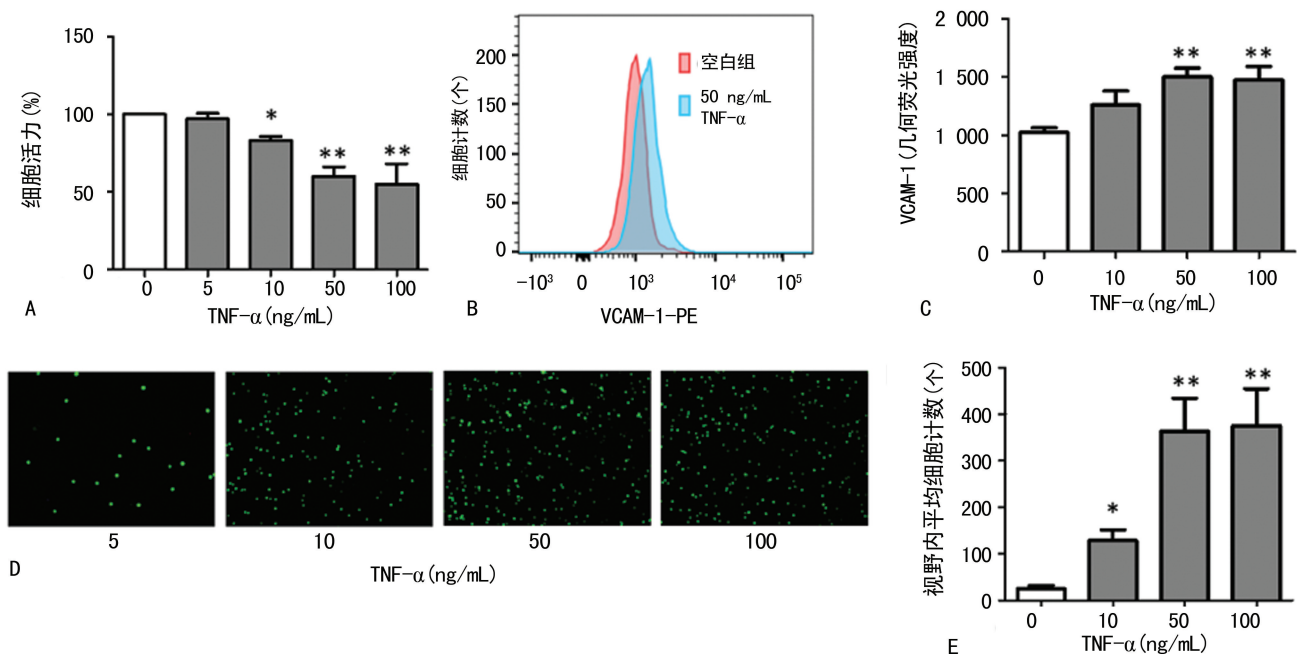
2 结 果

2.1 TNF- α 诱导内皮细胞损伤,促进黏附分子表达

不同水平(5、10、50、100 ng/mL) TNF- α 处理 HUVECs 4 h 后,通过 CCK-8 试剂盒检测细胞活性。由图 1A 可知,10、50、100 ng/mL 的 TNF- α 对 HUVECs 活性具有明显抑制作用。50 ng/mL 与 100

ng/mL 的 TNF- α 处理 HUVECs 后活性下降至 60%。故后续实验选取 50 ng/mL 的 TNF- α 进行实验。图 1B 和图 1C 表明, 50 ng/mL TNF- α 促进 HU-

VECs 表达 VCAM-1。图 1D 和图 1E 表明, 50 ng/mL 的 TNF- α 促进 HUVECs 与单核细胞之间的黏附。



A: 不同水平 TNF- α 刺激内皮细胞 4 h 后,CCK-8 检测细胞活性;B: 流式直方图显示内皮细胞 VCAM-1 水平;C: 不同水平 TNF- α 刺激内皮细胞 4 h 后,流式细胞术检测内皮细胞 VCAM-1 水平;D、E: 荧光显微镜分析内皮细胞与单个细胞(绿色荧光)黏附作用;*: P<0.05,与 0 ng/mL TNF- α 比较;**: P<0.01,与 0 ng/mL TNF- α 比较。

图 1 TNF- α 诱导内皮损伤和黏附分子的表达

2.2 骨化三醇对内皮细胞的保护作用

由图 2A 可知,不同水平的骨化三醇对细胞存活率无明显影响。 10^{-4} mol/L 和 10^{-5} mol/L 的骨化三醇对内皮细胞活性有抑制作用(图 2A)。因此,在后续实验中采用低于 10^{-5} mol/L 的骨化三醇进行实验。为了分析骨化三醇对内皮细胞的保护作用,采用 50 ng/mL 的 TNF- α 诱导的内皮细胞损伤模型。内皮细胞预孵育不同水平的骨化三醇后,加入 50 ng/mL 的 TNF- α 处理 4 h,CCK-8 检测 HUVECs 活性。结果显示, 10^{-8} mol/L 的骨化三醇可有效抑制 TNF- α 诱导的内皮细胞活性降低(图 2B)。

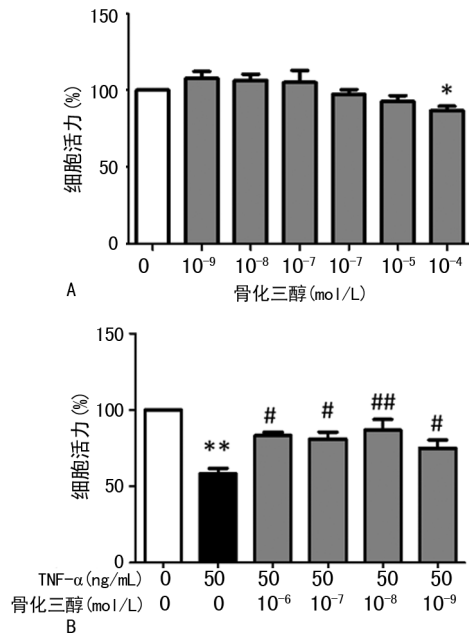
2.3 骨化三醇抑制 TNF- α 诱导的内皮细胞黏附作用

如图 3A 所示, 10^{-9} 、 10^{-8} 、 10^{-7} 、 10^{-6} mol/L 的骨化三醇均对 TNF- α 诱导的 VCAM-1 表达有抑制作用, 10^{-8} mol/L 的骨化三醇抑制作用更为显著。见图 3B。

2.4 骨化三醇通过 VDR-p38 途径抑制 TNF- α 诱导的内皮细胞黏附作用

VDR 作为骨化三醇的受体,可能参与骨化三醇对内皮细胞的保护作用。合成 VDR 特异性小干扰 RNA(siRNA-VDR)及乱序对照(siRNA-con),分别转染 HUVECs,结果显示(图 4A) siRNA-VDR 组相

对于 siRNA-con 组 VDR 蛋白水平显著降低。



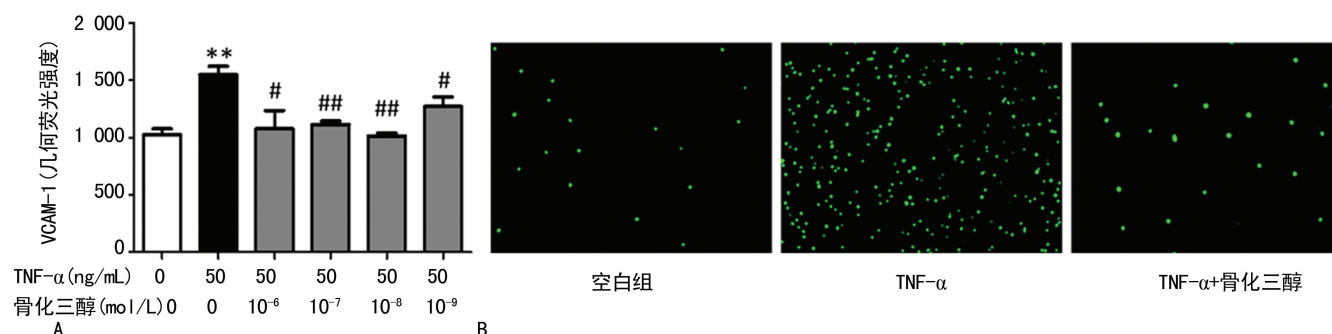
A: 不同水平骨化三醇孵育内皮细胞 4 h 后,CCK-8 检测细胞活性;B: 预孵育不同水平骨化三醇,再用 TNF- α 刺激内皮细胞 4 h 后,CCK-8 检测细胞活性;*: P<0.05,与 0 ng/mL TNF- α 比较;**: P<0.01,与 0 ng/mL TNF- α 比较;#: P<0.05,与 TNF- α 组比较;##: P<0.01,与 TNF- α 组比较。

图 2 骨化三醇对内皮细胞的保护作用

敲低内皮细胞 VDR 后,骨化三醇对于 TNF- α 诱

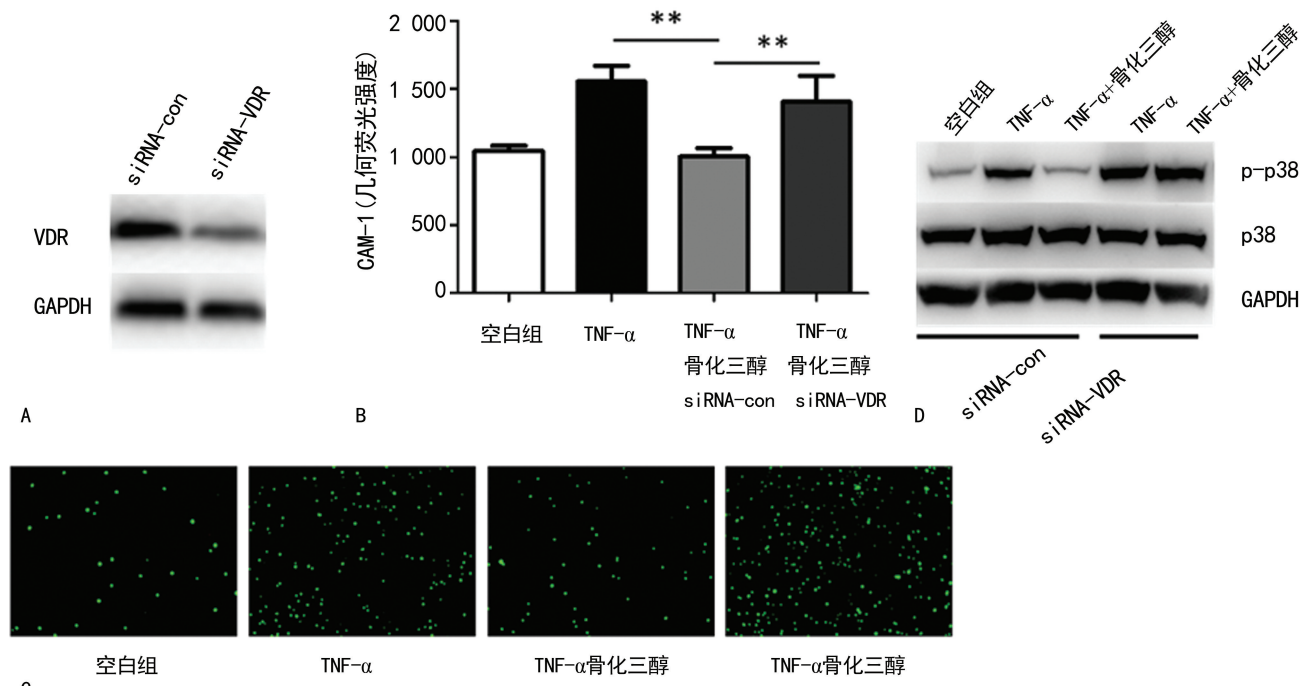
导的内皮细胞黏附的抑制作用明显降低(图 4B 和 C)。结果显示, TNF- α 处理内皮细胞促进 p38 的磷酸化, 而预孵育骨化三醇后, p38 的磷酸化水平显著降

低。敲低内皮细胞 VDR 后, 骨化三醇不能抑制 TNF- α 引起的内皮细胞 p38 磷酸化(图 4D)。



A: 预孵育不同水平骨化三醇后, 用 50 ng/mL TNF- α 刺激内皮细胞 4 h, 流式细胞术检测内皮细胞 VCAM-1 水平; B: 预孵育 10^{-8} mol/L 的骨化三醇后, 用 50 ng/mL TNF- α 刺激内皮细胞 4 h, 荧光显微镜分析内皮细胞与单核细胞(绿色荧光)黏附作用; *: $P < 0.05$, 与 0 ng/mL TNF- α 比较; **: $P < 0.01$, 与 0 ng/mL TNF- α 比较; #: $P < 0.05$, 与 TNF- α 组比较; ##: $P < 0.01$, 与 TNF- α 组比较。

图 3 骨化三醇抑制 TNF- α 诱导的内皮细胞黏附作用



A: Western blot 检测 VDR 表达; B: VDR 小干扰 RNA 转染内皮细胞, 经过不同处理后, 流式细胞术检测内皮细胞 VCAM-1 水平; C: VDR 小干扰 RNA 转染内皮细胞, 经过不同处理后, 荧光显微镜分析内皮细胞与单个细胞(绿色荧光)黏附作用; D: Western blot 检测 p38 磷酸化和 p38 表达; **: $P < 0.01$ 。

图 4 骨化三醇通过 VDR-p38 途径抑制 TNF- α 诱导的内皮细胞黏附作用

3 讨 论

内皮功能障碍被认为是动脉粥样硬化的起始阶段, 在受到切应力改变或炎症刺激后, 内皮细胞中 VCAM-1 等黏附分子表达增高并招募免疫细胞黏附从而进入内皮下^[13]。本研究通过 TNF- α 诱导的内皮细胞损伤模型, 以细胞活性、VCAM-1 表达及单核细胞黏附等指标评价内皮细胞损伤^[14]。研究表明, VD 除了调节钙代谢之外, 也参与糖尿病、高血压、冠心病、房颤、心力衰竭、传染性疾病及自身免疫性疾病的发病过程。文献表明, VD 缺乏与冠心病呈正相关

性^[7]。说明 VD 及 VDR 信号通路在动脉粥样硬化的发生、发展中起到了作用。本研究用骨化三醇, 一种体内活性最高的 VD 形式处理内皮细胞, 低于 10^{-5} mol/L 的骨化三醇均对内皮细胞起到保护作用。通过流式细胞术检测发现, 10^{-8} mol/L 的骨化三醇抑制 TNF- α 刺激的内皮细胞 VCAM-1 表达。本研究中, 利用 THP-1 单核细胞检测其与内皮细胞的黏附作用。荧光显微镜结果显示, 10^{-8} mol/L 的骨化三醇抑制 TNF- α 刺激的内皮细胞与单核细胞的黏附作用。

VDR 是 VD 的重要受体, 骨化三醇通过与 VDR

的结合，并激活 VDR 的转录因子活性，从而调节特定基因的转录。VDR 调节的基因众多，功能广泛，多以糖代谢、骨代谢及抗炎功能的蛋白居多。本实验中，为了验证骨化三醇抑制内皮细胞黏附作用是否依赖 VDR 途径，采用 siRNA 敲低内皮细胞 VDR。结果表明，敲低内皮细胞 VDR 后，骨化三醇对于 TNF- α 诱导的内皮细胞黏附的抑制作用显著降低。为了进一步阐明 VD 和 VDR 抑制内皮黏附作用的机制，通过文献[15]发现 p38 是调节细胞黏附和运动性的重要信号通路蛋白。有报道称，蛋白酶 C 依赖的 p38 和应激活化蛋白激酶磷酸化是 VCAM-1 表达的关键^[16]。本研究证明 TNF- α 促进内皮细胞 p38 蛋白磷酸化，而预孵育骨化三醇可以抑制 TNF- α 刺激的内皮细胞 p38 蛋白磷酸化。但通过 siRNA 抑制 VDR 表达后，骨化三醇抑制 p38 蛋白磷酸化作用显著降低。这些结果表明骨化三醇通过 VDR-p38 途径调节内皮细胞 VCAM-1 表达。

本研究初步证明了 VD 调节内皮细胞功能和黏附作用的机制。但仍停留在体外水平，没有对体内实验进行进一步的评估。本研究中，低于 10^{-5} mol/L 的骨化三醇均对内皮细胞具有保护作用，这与 VD 补充过量的临床依据一致。尽管 VD 过量造成的毒性是较为罕见的，但应该避免无节制的摄入^[17]。虽然细胞水平的实验证明一定水平的 VD 补充对内皮细胞具有抗炎保护作用，但后期需要在实验动物和人群试验进行探讨。

综上所述，VD 活性形式骨化三醇通过 VDR-p38 途径抑制 TNF- α 诱导的内皮细胞黏附作用，为营养素补充预防心血管疾病提供了新的思路和靶点。

参考文献

- [1] LIN Z, KUMAR A, SENBANERJEE S, et al. Kruppel-like factor 2 (KLF2) regulates endothelial thrombotic function [J]. Circulat Res, 2005, 96(5):48-57.
- [2] WEINKAUF C C, CONCHA-MOORE K, LINDNER J R, et al. Endothelial vascular cell adhesion molecule 1 is a marker for high-risk carotid plaques and target for ultrasound molecular imaging [J]. J Vasc Surg, 2018, 68(6S):105S-113S.
- [3] YAMAGISHI K, ISO H. Soluble vascular cell adhesion molecule and cardiovascular disease: an epidemiological view [J]. J Atheroscler Thromb, 2017, 24(8):791-792.
- [4] JANASZAK-JASIECKA A, SIEKIERZYCKA A, BARTOSZEWSKA S, et al. eNOS expres-
- sion and NO release during hypoxia is inhibited by miR-200b in human endothelial cells [J]. Angiogenesis, 2018, 21(4):711-724.
- [5] SHIRAKURA K, ISHIBA R, KASHIO T, et al. The Robo4-TRAF7 complex suppresses endothelial hyperpermeability in inflammation [J]. J Cell Sci, 2019, 132(1):220228.
- [6] ALJACK H A, ABDALLA M K, IDRIS O F, et al. Vitamin D deficiency increases risk of nephropathy and cardiovascular diseases in Type 2 diabetes mellitus patients [J]. J Res Med Sci, 2019, 24(1):47.
- [7] FANARI Z, HAMMAMI S, HAMMAMI M B, et al. Vitamin D deficiency plays an important role in cardiac disease and affects patient outcome: still a myth or a fact that needs exploration? [J]. J Saudi Heart Assoc, 2015, 27(4):264-271.
- [8] SAFAIE N, REZAEE H, SEIF DVATI B, et al. Vitamin D deficiency predicts the ST elevation type of myocardial infarction in patients with acute coronary syndrome [J]. Iran J Pharm Res, 2018, 17(Suppl):73-78.
- [9] MIRHOSSEINI N, VATANPARAST H, KIM BALL S M. The association between serum 25(OH)D status and blood pressure in participants of a community-based program taking Vitamin D supplements [J]. Nutrients, 2017, 9(11):1244.
- [10] LEIFHEIT-NESTLER M, GRABNER A, HERMANN L, et al. Vitamin D treatment attenuates cardiac FGF23/FGFR4 signaling and hypertrophy in uremic rats [J]. Nephrol Dial Transplant, 2017, 32(9):1493-1503.
- [11] LIU X, WANG W, TAN Z, et al. The relationship between vitamin D and risk of atrial fibrillation: a dose-response analysis of observational studies [J]. Nutr J, 2019, 18(1):73.
- [12] BOZIC M, ALVAREZ A, DE PABLO C, et al. Impaired Vitamin D signaling in endothelial cell leads to an enhanced leukocyte-endothelium interplay: implications for atherosclerosis development [J]. PLoS one, 2015, 10(8):e0136863.
- [13] ABDALA-VALENCIA H, KOUNTZ T S, MARCHESE M E, et al. VCAM-1 induces signals that stimulate ZO-1 serine phosphorylation and reduces ZO-1 localization at (下转第 4054 页)

- [J]. Medicine (Baltimore), 2019, 98(28): e16347.
- [8] GRONEWOLD J, BAUER M, LEHMANN N, et al. Coronary artery calcification, intima-media thickness, and ankle-brachial index are complementary stroke predictors [J]. Stroke, 2014, 45(9): 2702-2709.
- [9] DEN RUIJTER H M, PETERS S A, ANDERSON T J, et al. Common carotid intima-media thickness measurements in cardiovascular risk prediction: a meta-analysis [J]. JAMA, 2012, 308(8): 796-803.
- [10] POLAK J F, SZKLO M, O'LEARY D H. Carotid intima-media thickness score, positive coronary artery calcium score, and incident coronary heart disease: the multi-ethnic study of atherosclerosis [J]. J Am Heart Assoc, 2017, 6(1): e004612.
- [11] DIAZ A, BIA D, ZÓCALO Y, et al. Carotid intima media thickness reference intervals for a healthy argentinean population aged 11-81 years [J]. Int J Hypertens, 2018, 2018: 8086714.
- [12] LORENZ M W, GAO L, ZIEGELBAUER K, et al. Predictive value for cardiovascular events of common carotid intima media thickness and its rate of change in individuals at high cardiovascular risk—results from the PROG-IMT collaboration [J]. PLoS One, 2018, 13(4): e0191172.
- [13] HUANG R, MILLS K, ROMERO J, et al. Comparative effects of lipid lowering, hypoglycemic, antihypertensive and antiplatelet medications on carotid artery intima-media thickness progression: a network meta-analysis [J]. Cardiovasc Diabetol, 2019, 18(1): 14.
- [14] KATAKAMI N, MATSUOKA T A, SHIMOMURA I. Clinical utility of carotid ultrasonography: application for the management of patients with diabetes [J]. J Diabetes Investig, 2019, 10(4): 883-898.
- [15] VAN DEN OORD S C, SIJBRANDS E J, TEN KATE G L, et al. Carotid intima-media thickness for cardiovascular risk assessment: systematic review and meta-analysis [J]. Atherosclerosis, 2013, 228(1): 1-11.
- [16] 王增武, 杨瑛, 王文, 等. 我国高血压流行新特征—中国高血压调查的亮点和启示 [J]. 中国循环杂志, 2018, 33(10): 6-8.
- [17] 中国高血压防治指南修订委员会, 高血压联盟(中国), 中华医学会心血管病学分会, 等. 中国高血压防治指南 2018 年修订版 [J]. 中国心血管杂志, 2019, 24(1): 1-44.
- [18] OSAWA K, NAKANISHI R, MCCLELLAND R L, et al. Ischemic stroke/transient ischemic attack events and carotid artery disease in the absence of or with minimal coronary artery calcification: results from the Multi-Ethnic Study of Atherosclerosis [J]. Atherosclerosis, 2018, 275: 22-27.
- [19] GEPNER A D, YOUNG R, DELANEY J A, et al. Comparison of coronary artery calcium presence, carotid plaque presence, and carotid intima-media thickness for cardiovascular disease prediction in the Multi-Ethnic Study of Atherosclerosis [J]. Circ Cardiovasc Imaging, 2015, 8(1): e002262.

(收稿日期: 2020-02-18 修回日期: 2020-07-02)

(上接第 4049 页)

- lung endothelial cell junctions [J]. J Leukoc Biol, 2018, 104(1): 215-228.
- [14] TAKAFUJI Y, HORI M, MIZUNO T, et al. Humoral factors secreted from adipose tissue-derived mesenchymal stem cells ameliorate atherosclerosis in Ldlr^{-/-} mice [J]. Cardiovasc Res, 2019, 115(6): 1041-1051.
- [15] CHEN H T, TSOU H K, CHEN J C, et al. Adiponectin enhances intercellular adhesion molecule-1 expression and promotes monocyte adhesion in human synovial fibroblasts [J]. PloS one, 2014, 9(3): e92741.

- [16] CHEN W C, LIN C Y, KUO S J, et al. Resistin enhances VCAM-1 expression and monocyte adhesion in human osteoarthritis synovial fibroblasts by Inhibiting MiR-381 expression through the PKC, p38, and JNK signaling pathways [J]. Cells, 2020, 9(6): 1369.
- [17] GALIOR K, GREBE S, SINGH R. Development of Vitamin D toxicity from overcorrection of Vitamin D deficiency: a review of case reports [J]. Nutrients, 2018, 10(8): 953.

(收稿日期: 2020-03-18 修回日期: 2020-08-12)